

## РАСЧЕТ ПЛАСТИЧЕСКОГО ТЕЧЕНИЯ ПОЛЫХ ОВАЛЬНЫХ ЦИЛИНДРОВ НЕОГРАНИЧЕННОЙ ДЛИНЫ

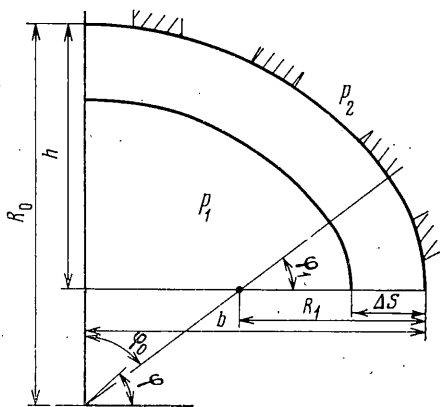
Е. И. МАКЕРАНЕЦ, В. И. ОДИНОКОВ

(Свердловск)

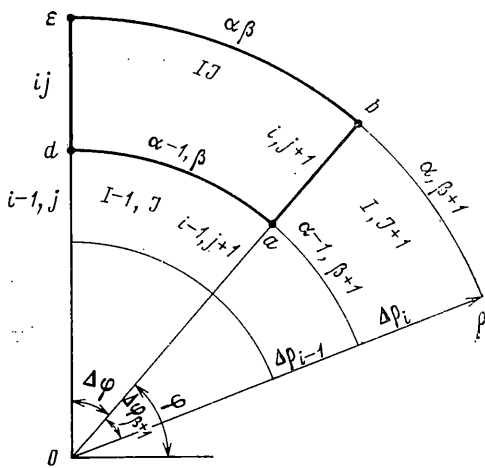
Разработка методов расчета полых цилиндров с различной конфигурацией поперечного сечения под действием нагрузок имеет важное значение для машиностроения, металлургии, строительства, горного дела. Наиболее полно разработана методика расчета круговых полых цилиндров [1-4].

В работе предлагается общая численная схема, пригодная для расчета напряженно-деформированного состояния при пластическом течении полых овальных цилиндров неограниченной длины. В основу схемы положен численный метод решения дифференциальных уравнений пластического течения, предложенный в [5] и подробно рассмотренный в [6]. Приводится описание алгоритма решения. Универсальность разработанного алгоритма демонстрируется на ряде частных задач о деформации полого овального цилиндра: осадка в штампах, деформация под действием наружного и внутреннего давлений, неравномерный нагрев стенки полого цилиндра.

1. Рассмотрим пластическое течение полого цилиндра неограниченной длины под нагрузкой, симметрично приложенной к его поверхности. Ставится задача определения полей напряжений и скоростей перемещений



Фиг. 1



Фиг. 2

в стенке цилиндра в начальный момент деформации. Материал стенки примем несжимаемым. Положим, что цилиндр настолько длинный, что его деформацией вдоль продольной оси можно пренебречь. Учитывая симметрию, будем отыскивать решение в области, составляющей четвертую часть поперечного сечения, наружный контур которого описывается двумя радиусами  $R_0$  и  $R_1$  (фиг. 1). Геометрические параметры сечения связаны соотношениями

$$R_0 = R_1 + \frac{b - R_1}{\cos \varphi_1}, \quad h = R_0 - (b - R_1) \operatorname{tg} \varphi_1 \quad (1.1)$$

Применив полярную систему координат, разобьем исследуемую область на ортогональные ячейки  $IJ$  ( $I=1, \dots, I^*$ ;  $J=1, \dots, J^*$ ). Примем обозначения граней ячейки  $IJ$  в соответствии с фиг. 2, где  $i=1, \dots, i^*$ ;  $j=1, \dots, j^*$ ;  $\alpha=1, \dots, \alpha^*$ ;  $\beta=1, \dots, \beta^*$ . Введем для удобства следующие безразмерные параметры:

$$\begin{aligned} \rho_c^\circ &= \frac{\rho_c}{\Delta \rho_i}, & t_1 &= \frac{4\Delta S}{\rho_c}, & t_2 &= \frac{1}{\Delta \varphi_{\beta} \rho_c^\circ}, & t_3 &= \frac{1}{2\rho_c^\circ}, & t_4 &= \frac{8\Delta S}{\Delta \rho_i} \\ t_1^a &= \frac{\Delta S}{\Delta \rho_i} & t_2^a &= \frac{2\Delta S}{(\rho_\alpha - \Delta \rho_i)(\Delta \varphi_\beta + \Delta \varphi_{\beta+1})}, & t_3^a &= -\frac{\Delta S}{\rho_\alpha - \Delta \rho_i}, & \lambda^\circ &= \frac{\lambda v_u}{\sigma_s \Delta S} \end{aligned} \quad (1.2)$$

$$\begin{aligned} \rho_c &= \rho_\alpha - 0.5\Delta \rho_i, & \Delta \rho_i &= \Delta S / \omega = \Delta \rho_{i+1} = \Delta \rho, & \lambda &= T/H, & T &= Hg(H) \\ H &= (2\xi_{hl}^* \xi_{hl}^*)^{1/2}, & \xi_{hl}^* &= \xi_{hl} - 1/3 \xi \delta_{hl}, & \xi &= \xi_{kl} \delta_{kl}, & \xi_{kl} &= 0.5(v_{k,l} + v_{l,k}) \\ \delta_{kl} &= 1 & (k=l), & \delta_{kl} &= 0 & (k \neq l), & v_{k,l} &= \partial v_k / \partial x_l \quad (k, l=1, 2, 3) \end{aligned}$$

$\Delta S$  — толщина стенки цилиндра;  $\omega$  — число делений стенки цилиндра, численно равное значению индекса  $i^*$ ; суммирование по индексам  $k, l$ ;  $v_u$  — приведенная скорость перемещения инструмента;  $\sigma_s$  — предел текучести материала при растяжении.

В соответствии с работой [5] и учитывая (1.2), запишем систему уравнений пластического течения для ячейки  $IJ$  (фиг. 2), которая после простых преобразований будет иметь вид

$$\begin{aligned} \lambda^\circ t_1 (v_\rho^{\alpha\beta} - v_\rho^{\alpha-1\beta}) + \sigma_{\rho\varphi}^{\alpha\beta} - \sigma_{\rho\varphi}^{\alpha-1\beta} + t_2 (\sigma_{\varphi\rho}^{ij} - \sigma_{\varphi\rho}^{ij+1}) &= 0 \quad (1.3) \\ t_2 (\sigma_{\varphi}^{ij} - \sigma_{\varphi}^{ij+1}) + \sigma_{\rho\varphi}^{\alpha\beta} - \sigma_{\rho\varphi}^{\alpha-1\beta} + t_3 (\sigma_{\varphi\rho}^{ij} + \sigma_{\rho\varphi}^{\alpha-1\beta} + \sigma_{\rho\varphi}^{\alpha\beta} + \sigma_{\varphi\rho}^{ij+1}) &= 0 \\ \sigma_{\rho}^{\alpha\beta} + \sigma_{\rho}^{\alpha-1\beta} - \sigma_{\varphi}^{ij} - \sigma_{\varphi}^{ij+1} &= \lambda^\circ t_4 (v_\rho^{\alpha\beta} - v_\rho^{\alpha-1\beta}) \\ \sigma_{\rho\varphi}^a &= \lambda^* [t_1^a (v_\varphi^{ij+1} - v_\varphi^{i-1j+1}) + t_2^a (v_\rho^{\alpha-1\beta} - v_\rho^{\alpha-1\beta+1}) + t_3^a (v_\varphi^{ij+1} + v_\varphi^{i-1j+1})] \\ v_\rho^{\alpha\beta} - v_\rho^{\alpha-1\beta} + t_2 (v_\varphi^{ij} - v_\varphi^{ij+1}) + t_3 (v_\rho^{\alpha-1\beta} + v_\rho^{\alpha\beta}) &= 0 \\ \sigma_{\rho\varphi}^{ij} &= 0.5(\sigma_{\rho\varphi}^a + \sigma_{\rho\varphi}^e), & \sigma_{\rho\varphi}^{\alpha-1\beta} &= 0.5(\sigma_{\rho\varphi}^a + \sigma_{\rho\varphi}^e) \quad (1.4) \end{aligned}$$

$$\sigma_{\rho\varphi}^{\alpha\beta} = 0.5(\sigma_{\rho\varphi}^e + \sigma_{\rho\varphi}^b), \quad \sigma_{\varphi\rho}^{ij+1} = 0.5(\sigma_{\rho\varphi}^a + \sigma_{\rho\varphi}^b), \quad \lambda^* = 0.25 \sum_{I=1, J}^{I, J+1} \lambda_{IJ}^\circ$$

Напряжения  $\sigma_{\rho\varphi}^a, \sigma_{\rho\varphi}^e, \sigma_{\rho\varphi}^b$  вычисляются аналогично  $\sigma_{\rho\varphi}^a$  в (1.3). В системе (1.3) скорости  $v_\rho, v_\varphi$  выражены в долях  $v_u$ , напряжения — в долях  $\sigma_s$ .

Пусть  $M$  — множество, состоящее из числа  $m$  индексов  $\beta$ , принадлежащих граням ячеек, примыкающих к внешней свободной поверхности,  $N$  — множество, состоящее из  $\beta^* - m$  индексов  $\beta$ , принадлежащих граням ячеек, примыкающих к поверхности контакта инструмента деформации.

Граничные условия задачи запишем в виде

$$\begin{aligned} \sigma_{\varphi\rho}^{ij^*} = \sigma_{\varphi\rho}^{i1} &= 0, & \sigma_{\rho\varphi}^{1\beta} = \sigma_{\rho\varphi}^{\alpha\beta} &|_{\beta \in M} = 0 \quad (1.5) \\ \sigma_{\rho}^{1\beta} &= -p_1, & \sigma_{\rho}^{\alpha\beta} &|_{\beta \in M} = -p_2, & v_{\rho}^{\alpha\beta} &|_{\beta \in N} = v_{\rho u} \end{aligned}$$

где  $v_{\rho\alpha}$  — проекция скорости перемещения инструмента на ось  $\rho$ ,  $p_1$  — давление внутри цилиндра,  $p_2$  — давление на внешнюю свободную поверхность.

На контактной поверхности имеется скольжение. Закон трения применим (безразмерный вид)

$$\sigma_{\rho\varphi}^c = -\psi v_{c\kappa}^c, \quad v_{c\kappa}^c = v_{\varphi}^c - v_{\rho\alpha}^c \quad (1.6)$$

Здесь  $c$  — точка на поверхности контакта,  $\psi$  — коэффициент трения,  $v_{\rho\alpha}$  — проекция скорости инструмента на  $\varphi$ .

Записав для каждой ячейки  $IJ$  ( $I=1, \dots, I^*$ ;  $J=1, \dots, J^*$ ) систему уравнений (1.3), (1.4) и учтя граничные условия (1.5), а также уравнения на контакте (1.6), получим систему алгебраических уравнений, решив которую, найдем поля напряжений и скоростей перемещений по граням ячеек.

2. Рассмотрим алгоритм решения сформированной системы алгебраических уравнений. Заметим, что если  $\lambda_{IJ} = \text{const}$ , то данная система уравнений становится линейной. Введем обозначения

$$A_{IJ} = \lambda^{\circ} t_1 (v_{\rho}^{\alpha\beta} - v_{\rho}^{\alpha-1\beta}) + t_2 (\sigma_{\varphi}^{ij} - \sigma_{\varphi}^{ij+1}) \quad (2.1)$$

$$B_{IJ} = \sigma_{\rho\varphi}^{\alpha\beta} - \sigma_{\rho\varphi}^{\alpha-1\beta} + t_3 (\sigma_{\rho\varphi}^{ij} + \sigma_{\rho\varphi}^{\alpha-1\beta} + \sigma_{\rho\varphi}^{\alpha\beta} + \sigma_{\rho\varphi}^{ij+1})$$

$$C_{IJ} = \lambda^{\circ} t_4 (v_{\rho}^{\alpha\beta} - v_{\rho}^{\alpha-1\beta})$$

Выразим из второго и третьего уравнений системы (1.3) с учетом (2.1) значения  $\sigma_{\varphi}^{ij}$  и  $\sigma_{\varphi}^{ij+1}$

$$\sigma_{\varphi}^{ij+1} = \frac{1}{2} \left( \sigma_{\rho}^{\alpha\beta} + \sigma_{\rho}^{\alpha-1\beta} + \frac{B_{IJ}}{t_2} - C_{IJ} \right), \quad \sigma_{\varphi}^{ij} = \frac{1}{2} \left( \sigma_{\rho}^{\alpha\beta} + \sigma_{\rho}^{\alpha-1\beta} - \frac{B_{IJ}}{t_2} - C_{IJ} \right) \quad (2.2)$$

Очевидно, что  $(\sigma_{\varphi}^{ij+1})_{IJ} = (\sigma_{\varphi}^{ij+1})_{IJ+1}$ . Учитывая это, построим следующую систему уравнений:

$$F_{\varphi}^{ij} = \frac{1}{2} \left( \sigma_{\rho}^{\alpha\beta} + \sigma_{\rho}^{\alpha-1\beta} + \frac{B}{t_2} - C \right)_{IJ} - \frac{1}{2} \left( \sigma_{\rho}^{\alpha\beta+1} + \sigma_{\rho}^{\alpha-1\beta+1} - \frac{B}{t_2} - C \right)_{IJ+1} = 0$$

( $i=1, \dots, i^*$ ;  $j=2, \dots, j^*-1$ )

$$F_{\rho}^{\alpha\beta} |_{\beta \in M} = \sigma_{\rho}^{\alpha\beta} - \sigma_{\rho}^{\alpha-1\beta} + A_{IJ} = 0 \quad (2.3)$$

где уравнения  $F_{\rho}^{\alpha\beta} |_{\beta \in M} = 0$  построены из первого уравнения системы (1.3) с учетом (2.1).

Система (2.3) содержит количество уравнений ( $R$ ), равное числу неизвестных  $v_{\varphi}^{ij}$  и  $v_{\rho}^{\alpha\beta}$ :  $R = g + m$ , где  $g = i^* \times (j^* - 2)$  — количество неизвестных  $v_{\varphi}^{ij}$ ,  $i=1, \dots, i^*$ ;  $j=2, \dots, j^*-1$ ;  $m$  — количество неизвестных  $v_{\rho}^{\alpha\beta}$ ,  $\beta \in M$ . Будем считать эти неизвестные независимыми. Скорости  $v_{\varphi}^{ij}$ ,  $i=1, \dots, i^*$ ;  $j=1, j^*$ ;  $v_{\rho}^{\alpha\beta}$ ,  $\beta \in N$  заданы граничными условиями (1.5). Все члены системы уравнений (2.3) можно выразить через указанные независимые переменные. Для доказательства данного утверждения положим, что значения  $\lambda_{IJ}^{\circ}$  ( $I=1, \dots, I^*$ ;  $J=1, \dots, J^*$ ) заданы.

Используя уравнения несжимаемости в каждой ячейке, найдем скорости  $v_{\rho}^{\alpha\beta}$  через независимые параметры системы (2.3). Для этого перепишем последнее уравнение (1.3) в следующем виде:

$$v_{\rho}^{\alpha-1\beta} = \frac{1}{1-t_3} [(1+t_3)v_{\rho}^{\alpha\beta} + t_2(v_{\varphi}^{ij} - v_{\varphi}^{ij+1})] \quad (2.4)$$

и будем его выполнять в последовательности  $\alpha = \alpha^*$ ,  $\alpha^* - 1, \dots, 2$  при  $\beta = 1, \dots, \beta^*$ .

По найденным скоростям  $v_\rho^{\alpha\beta}$  и независимым параметрам определим в соответствии с четвертым уравнением (1.3) и уравнениями (1.6), (1.4) напряжения  $\sigma_{\rho\phi}^{ij} \sigma_{\rho\phi}^{\alpha\beta}$ , не заданные граничными условиями. Вычисляются значения  $A_{IJ}, B_{IJ}, C_{IJ}$ . Используя первое уравнение системы (1.3) и учитывая (2.1), найдем напряжения  $\sigma_\rho^{\alpha\beta}$  из следующих соотношений:

$$\sigma_\rho^{\alpha\beta} = \sigma_\rho^{\alpha-1\beta} - A_{IJ} \tag{2.5}$$

в последовательности  $\alpha=2, \dots, \alpha^*$  при  $\beta=1, \dots, \beta^*$ ;  $\beta \neq M$ . Здесь  $\sigma_\rho^{1\beta} = 0$  по (1.5). Заметим, что в уравнениях  $F_k^{\alpha\beta} = 0$  системы (2.3)  $\sigma_\rho^{\alpha\beta}, \beta \in M$  заданы граничными условиями, а именно  $\sigma_\rho^{\alpha\beta}|_{\beta \in M} = -p_2$ . Утверждение доказано.

Линейную систему уравнений (2.3) перепишем в виде

$$F_k = a_k^{ij} v_\rho^{ij} + a_k^{\alpha\beta} v_\rho^{\alpha\beta} + b_k = 0 \tag{2.6}$$

$i=1, \dots, i^*; j=2, \dots, j^*-1; \beta \in M; k=1, \dots, R$ , суммирование по индексам  $i, j, \beta$ . Здесь  $a_k^{ij}, a_k^{\alpha\beta}$  — коэффициенты при неизвестных,  $b_k$  — свободный член. Определим коэффициенты и свободные члены системы (2.6). Положив  $v_\rho^{ij} = 0, v_\rho^{\alpha\beta} = 0; i=1, \dots, i^*; j=2, \dots, j^*-1; \beta \in M$  и производя последовательно вычисления (последовательность  $\Pi$ ) по формулам (2.4), (1.3) — четвертая формула, (1.6), (1.4), (2.1), (2.5), (2.3), определим свободные члены  $b_k, k=1, \dots, R$ :

$$F_k|_{v(0)} = F_k^0 = b_k \quad (k=1, \dots, R)$$

где  $v$  — вектор,  $v\{v_\rho^{ij}, v_\rho^{\alpha\beta} | i=1, \dots, i^*; j=2, \dots, j^*-1; \beta \in M\}$ . Определим множество  $D = \{i, j, \beta | i=1, \dots, i^*; j=2, \dots, j^*-1; \beta \in M\}$ . Так как  $F_k$  — линейная функция относительно  $v_\rho^{ij}, v_\rho^{\alpha\beta}$ , то, положив:  $v_\rho^{\alpha\beta} = 0, \beta \in M; v_\rho^{ij} = 1, i=p, j=r, p \in D, r \in D, v_\rho^{ij} = 0$  при выполнении хотя бы одного из неравенств  $i \neq p, j \neq r$  и осуществив последовательность вычислений  $\Pi$ , получим значения  $F_k$ , которые обозначим как  $F_k^{pr}, k=1, \dots, R$ .

Теперь можно вычислить коэффициенты  $a_k^{pr}$ :

$$a_k^{pr} = (F_k^{pr} - F_k^0) / 1 \quad (k=1, \dots, R)$$

Так как  $F_k^0 = b_k$ , то

$$a_k^{pr} = F_k^{pr} - b_k \quad (k=1, \dots, R) \tag{2.7}$$

Придавая индексам  $p, r$  значения  $p=1, \dots, i^*, r=2, \dots, j^*-1$ , получим всю матрицу коэффициентов  $a_k^{ij}, i=1, \dots, i^*; j=2, \dots, j^*-1; k=1, \dots, R$ . Аналогично определяются коэффициенты  $a_k^{\alpha\beta}$ . Таким образом имеем матрицу для решения системы линейных уравнений (2.6).

Определим последовательность решения задачи.

1. Рассчитываются геометрические безразмерные параметры (1.2):  $t_{IJ}, I=1, \dots, I^*; J=1, \dots, J^*; t_{IJ} = \{t_1, t_2, t_3, t_4, t_1^u, t_2^u, t_3^u | u=a, e, d\}$ . Задаются граничные условия задачи (1.5) и начальное приближение:  $\lambda_{IJ}^0 = 1; I=1, \dots, I^*; J=1, \dots, J^*$ .

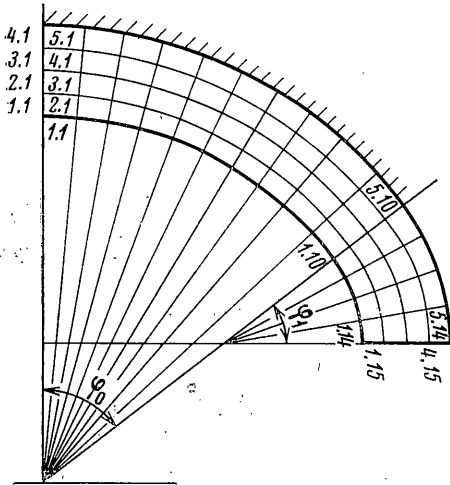
2. Находятся в соответствии с изложенной выше последовательностью  $\Pi$  коэффициенты и свободные члены системы линейных уравнений (2.6).

3. Решается система линейных уравнений (2.6) по стандартной программе.

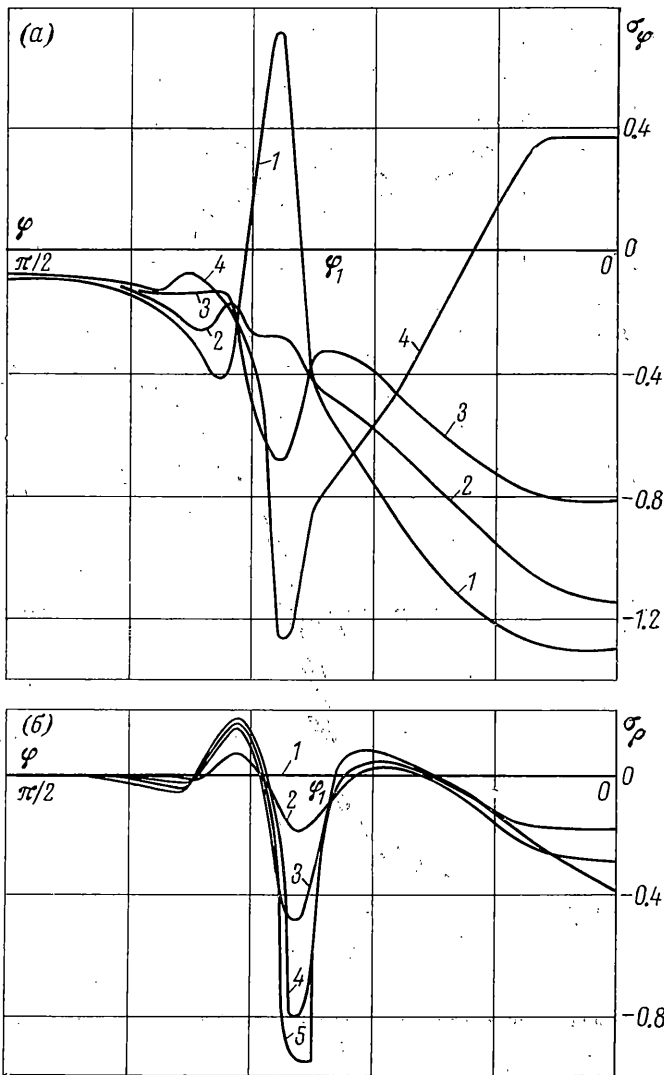
4. В соответствии с принятой моделью физического состояния среды  $T = \text{Hg}(H)$  насчитываются по каждой ячейке  $\lambda_{IJ}^n, I=1, \dots, I^*; J=1, \dots, J^*$ . Производится сравнение по  $(\lambda^n)^n$  и  $(\lambda^n)^{n-1}; (\lambda^n)^n = \{(\lambda_{IJ}^0)^n | I=1, \dots, I^*; J=1, \dots, J^*\}$

$$|(\lambda^n)^n - (\lambda^n)^{n-1}| \leq \varepsilon \tag{2.8}$$

где  $n$  — номер итерации,  $\varepsilon$  — точность решения задачи.



Фиг. 3



Фиг. 4 а, б

Если неравенство (2.8) удовлетворяется, то выполняется операция 5, в противном случае выполняется операция 2.

5. Вычисляются скорости перемещений и напряжений по граням ячеек в соответствии с последовательностью П.

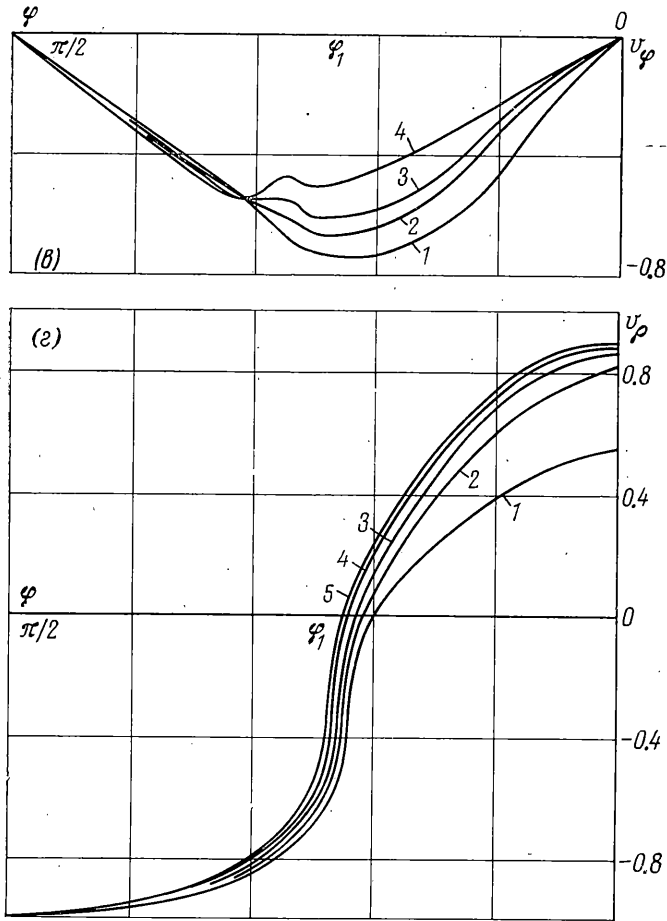
Опыт решения задач показал, что для получения точности решения по скоростям и напряжениям до третьего знака после запятой достаточно произвести шесть-семь итераций.

3. Рассмотрим ряд частных случаев. 1. Полый стальной цилиндр, нагретый до температуры 1200° С, осаживается между двумя штампами. Данная задача может служить моделью процесса деформации корочки непрерывнолитого слитка, выходящего из установки непрерывной разливки стали, в непосредственной близости от кристаллизатора. Внутренним (ферростатическим) давлением внутри слитка ввиду его малости (1÷1,2 ат) можно пренебречь. Разобьем четвертую часть поперечного сечения на 56 ячеек (фиг. 3). При этом  $i^*=4$ ,  $j^*=15$ ,  $\alpha^*=5$ ,  $\beta^*=14$ ,  $I^*=4$ ,  $J^*=14$ .

Положим  $N = \{ \beta_j | j=1, \dots, 10 \}$ . Тогда  $g=52$ ,  $m=4$ ,  $R=56$ . На поверхности контакта

$$v_{\rho u} = -v_u \sin \varphi, \quad v_{\varphi u} = -v_u \cos \varphi. \quad (3.1)$$

где  $v_u$  – скорость перемещения инструмента.



Фиг. 4 в, г

Примем, что деформируемая среда описывается соотношением [7]:

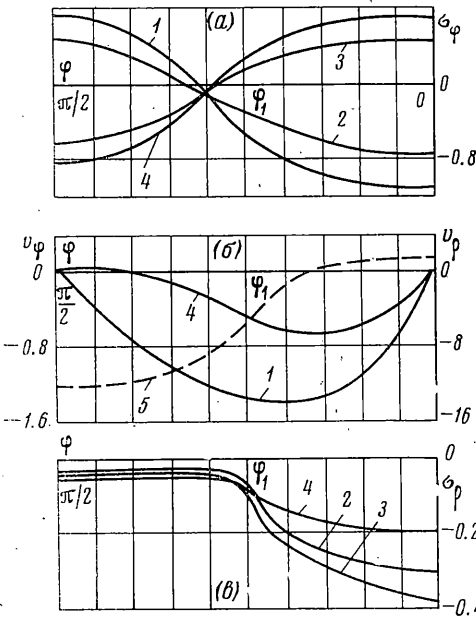
$$T = \tau_m H^\gamma / (H_0^\gamma + H^\gamma) \quad (3.2)$$

Здесь  $H_0 = 1 \text{ сек}^{-1}$ ,  $\tau_m$ ,  $\gamma$  — коэффициенты, зависящие от марки стали, температуры, степени деформации.

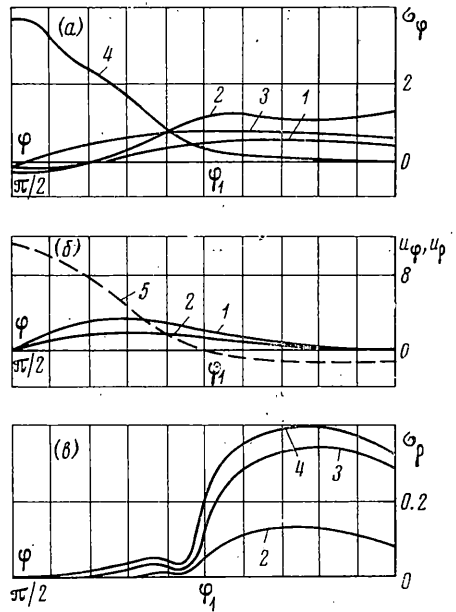
Определим  $\lambda^\circ$  как  $\lambda^\circ = \lambda v_u / \tau_m \Delta S$ , тогда в соответствии с равенством (3.2)

$$\lambda^\circ = \frac{H_*^{\gamma-1}}{(\Delta S / v_u)^\gamma + H_*^\gamma}, \quad H_* = H \frac{\Delta S}{v_u} \quad (3.3)$$

На фиг. 4, а — г приведены графики  $\sigma_\varphi(\varphi)$ ,  $\sigma_p(\varphi)$ ,  $v_\varphi(\varphi)$ ,  $v_p(\varphi)$  при значениях  $b/\Delta S = 7.15$ ;  $R_1/\Delta S = 1.78$ ;  $p_1 = 0$ ,  $p_2 = 0$ ,  $\varphi_1 = 45^\circ$ ;  $\psi = 1$ ,  $\gamma = 0.5$ ;  $\Delta S / v_u = 1 \text{ сек}$ . Результаты представлены в виде кривых, полученных графической аппроксимацией значений скоростей и напряжений в центральных точках граней ячеек. Цифрами 1, 2, 3, 4 (фиг. 4, а, в) обозначены кривые при соответствующих значениях  $i = 1, 2, 3, 4$ ; цифрами 1, 2, 3, 4, 5 (фиг. 4, б, г) обозначены кривые при соответствующих значениях  $\alpha = 1, 2, 3, 4, 5$ . Напряжения на графиках приведены в долях  $\tau_m$ , скорости — в долях  $v_u$ . Заметим, что  $\tau_m \approx \sigma_s$ . Значение  $\gamma = 0.5$  соответствует среднеуглеродистой стали при температуре  $\theta = 1000 \div 1200^\circ \text{С}$ . Отношения  $b/\Delta S$ ,  $R_1/\Delta S$  и угол  $\varphi_1$  приняты в соответствии с размерами слитков, отливаемых на установках непрерывной разливки стали. Интересно отметить, что наибольшие растягивающие напряжения возникают по  $\sigma_\varphi$  в внутреннем слое ( $i = 1$ ) при  $\varphi$ , близких к  $\varphi_1$  (фиг. 4, а), а также на внешнем слое (4) при  $\varphi = 0$ .



Фиг. 5



Фиг. 6

2. Полый стальной цилиндр, нагретый до температуры  $1200^{\circ}\text{C}$ , находится под действием внутреннего  $p_1$  и внешнего  $p_2$  давлений. Имеем  $N=\phi$ , следовательно  $g=52$ ,  $m=14$ ,  $R=66$ . Значения  $\gamma$ ,  $\Delta S/v_u$ , геометрические параметры  $b/\Delta S$ ,  $R_1/\Delta S$  приемлемыми такими же, что и в первой задаче. Угол  $\phi_1$  взят равным  $\phi_1=85^{\circ}$ ,  $p_1=0.03 \tau_m$ ,  $p_2=0.05 \tau_m$ . На фиг. 5, а – приведены результаты решения данной задачи. Цифры на фиг. 5, а соответствуют значениям  $i=1, 2, 3, 4$ . На фиг. 5, б приведены графики  $v_p(\phi)$  – пунктирной линией ( $\alpha=5$ ),  $v_\phi(\phi)$  – сплошными линиями ( $i=1, 4$ ). Значения  $v_p(\phi)$  при  $\alpha=1, 2, 3, 4$  очень близки по величине к  $v_p(\phi)$  при  $\alpha=5$  и поэтому на графике не показаны. Значения  $v_\phi(\phi)$  при  $i=2, 3$  лежат между значениями  $v_\phi(\phi)$  при  $i=1, 4$ . Цифры на фиг. 5, в соответствуют  $\alpha=2, 3, 4$ .

3. Полый стальной цилиндр нагревается от  $0^{\circ}\text{C}$ . Известны значения температуры по слоям стенки цилиндра  $\theta_I$ ,  $I=1, 2, 3, 4$  к моменту времени  $\tau$ . Определим напряжения и деформации, возникающие в стенке цилиндра, к моменту времени  $\tau$ . Имеем  $N=\phi$ ,  $g=52$ ,  $m=14$ ,  $R=66$ . Решаем задачу в перемещениях, учитывая только тепловое изменение объема. Запишем систему дифференциальных уравнений для данной задачи

$$\sigma_{hI,I}=0, \quad \sigma_{hI}-\sigma_{\delta hI}=2, \quad \lambda_*(\varepsilon_{hI}-a\theta_{\delta hI}), \quad u_{h,k}-3a\theta=0, \quad \lambda_*=\Gamma/\Gamma$$

$$\Gamma=\Gamma g(\Gamma) \quad \Gamma=\sqrt{2\varepsilon_{hI}^*\varepsilon_{hI}}, \quad \varepsilon_{hI}=1/2(u_{h,I}+u_{I,h}), \quad \varepsilon_{hI}^*=\varepsilon_{hI}^{-1/3}\varepsilon_{\delta hI}, \quad \varepsilon=\varepsilon_{hh}$$

Здесь  $a$  – коэффициент линейного теплового расширения,  $\theta$  – температура материала,  $u_h$  – перемещение вдоль соответствующей координаты  $x_h$ . Алгоритм решения остается тот же самый, только в формулах (1.3), (1.4) будут фигурировать не скорости перемещений, а сами перемещения. Кроме того, значения  $A_{IJ}$ ,  $C_{IJ}$  в (2.1) и формула (2.4) с учетом теплового расширения будут иметь вид

$$u_p^{\alpha-1\beta} = \frac{1}{1-t_3} \left[ (1+t_3)u_p^{\alpha\beta} + t_2(u_p^{ij}-u_p^{ij+1}) - 24a\theta \frac{\Delta S}{t_4 u^*} \right]$$

$$A_{IJ} = \lambda_*^{\circ} \left[ t_1(u_p^{\alpha\beta}-u_p^{\alpha-1\beta}) - 12t_3 \frac{\Delta S}{u^*} a\theta \right] + t_2(\sigma_{\phi p}^{ij}-\sigma_{\phi p}^{ij+1})$$

$$C_{IJ} = \lambda_*^{\circ} \left[ t_4(u_p^{\alpha\beta}-u_p^{\alpha-1\beta}) - 12 \frac{\Delta S}{u^*} a\theta \right]$$

где  $u^*$  — заданная величина перемещения, в долях которой отыскиваются значения  $u_p^{\alpha\beta}$ ,  $u_\phi^i$ ;  $\lambda_{*0} = \lambda_{*0} u^* / \Delta S$ .

В соответствии с работой [7]:

$$T = \left[ \tau_0^* \left( \frac{t_0}{\theta} \right)^2 - \tau_1^* \right] \sqrt{\varepsilon(\varepsilon_0 - \varepsilon)^2} \frac{H\nu}{1 + H\nu}, \quad \gamma = K_0 \frac{\theta}{t_0} - K_1 \quad (3.4)$$

Здесь  $K_0$ ,  $K_1$ ,  $\varepsilon$ ,  $\tau_0^*$ ,  $\tau_1^*$  — коэффициенты, зависящие от марки стали;  $t_0 = 1000^\circ \text{C}$ ;  $\varepsilon = \Gamma / \sqrt{3}$ .

Учитывая, что деформации и перемещения малы, полагаем  $v_k = u_k / \tau$ ,  $v^* = u^* / \tau$  ( $\tau$  — время деформации). Тогда  $v_k = v^* u_k^0$ ,  $u_k^0 = u_k / u^*$ , значение  $\xi_{kl} = 0.5 (\Delta v_k / \Delta x_l + \Delta v_l / \Delta x_k)$  будет  $\xi_{kl} = 0.5 (\Delta u_k^0 / \Delta x_l^0 + \Delta u_l^0 / \Delta x_k^0) v^* / \Delta S$ ,  $\Delta x_k^0 = \Delta x_k / \Delta S$ , следовательно,  $H = \Gamma^0 v^* / \Delta S$ ,  $\Gamma^0 = \Gamma \Delta S / u^*$ .

На фиг. 6, а—в приведены результаты решения задачи при  $b / \Delta S = 7.15$ ,  $R_1 / \Delta S = 1.78$ ,  $\phi_1 = 45^\circ$ ,  $\Delta S / u^* = 14$ ,  $v^* / \Delta S = 1 \text{ сек}$ . Коэффициенты в (3.4) приняты соответствующими марки стали (Ст. 3 [7]):  $\tau_1^* = 3.38 \text{ кг/мм}^2$ ,  $\tau_0 = 8.2 \text{ кг/мм}^2$ ,  $\varepsilon_0 = 2.3$ ,  $K_1 = -0.0001$ ,  $K_0 = 0.407$ . Принято  $a = 1.2 \cdot 10^{-5} \text{ град}^{-1}$ . Распределение температуры  $\theta_t$  к моменту времени  $\tau$  примем:  $\theta_1 = 1500^\circ \text{C}$ ,  $\theta_2 = 1400^\circ \text{C}$ ,  $\theta_3 = 1300^\circ \text{C}$ ,  $\theta_4 = 1100^\circ \text{C}$ . Цифры на фиг. 6, а соответствуют значениям  $i=1, 2, 3, 4$ , на фиг. 6, в — значениям  $\alpha=2, 3, 4$ . Графики напряжений на фиг. 6, а, в приведены в  $\text{кг/мм}^2$ . На фиг. 6, б сплошными линиями показаны кривые  $u_\phi(\varphi)$  при  $i=1, 4$ , пунктирной —  $u_p(\varphi)$  при  $\alpha=5$ . Кривые  $u_\phi(\varphi)$  при  $i=2, 3$  располагаются между кривыми  $u_\phi(\varphi)$  при  $i=1, 4$ ; кривые  $u_p(\varphi)$  при  $\alpha=1, 2, 3, 4$  близки к  $u_p(\varphi)$  при  $\alpha=5$  и поэтому на графике не показаны.

Разработанный алгоритм может быть применен также для расчета симметричных арочных конструкций, шахтных сводов и оболочек из композиционных материалов.

Поступила 4 VII 1974

#### ЛИТЕРАТУРА

1. Хилл Р. Математическая теория пластичности. М., Гостехиздат, 1956.
2. Соколовский В. В. Теория пластичности. М., Гостехиздат, 1950.
3. Ильюшин А. А., Огибалов П. М. Упругопластические деформации полых цилиндров. Изд-во МГУ, 1960.
4. Качанов Л. М. Основы теории пластичности. М., «Наука», 1969.
5. Одинокоев В. И. Численный метод решения дифференциальных уравнений пластического течения. Прикл. механ., 1973, т. 9, вып. 12.
6. Одинокоев В. И. Численное решение некоторых задач о деформации несжимаемого материала. Прикл. механ., 1974, т. 10, вып. 1.
7. Одинокоев В. И., Хайкин В. Е. Аналитическое описание упрочнения сталей в зависимости от скорости, степени и температуры деформации. В сб.: Теория и технология прокатки, № 176. Изд-во Уральск. политехн. ин-та, 1969, вып. 176.